

## سیستم تشخیص ناهنجاری مبتنی بر هشدار برای مقابله با تهدیدهای عملیاتی در سیستم اسکادا

\*پیام محمودی نصر<sup>۱</sup>، علی یزدیان ورجانی<sup>۲\*</sup>

<sup>۱</sup>-دانشجوی دکتری، -۲- استادیار، دانشگاه تربیت مدرس

(دریافت: ۹۴/۰۸/۱۸، پذیرش: ۹۴/۱۰/۲۲)

### چکیده

حمله به سیستم‌های اسکادا در زیرساخت‌های حیاتی خسارت‌های جبران‌ناپذیری به همراه دارد. چنانچه اپراتورهای اسکادا وظایف خود را به درستی انجام ندهند، در فرآیندهای جاری سیستم اختلال بوجود می‌آید. عملکرد نامناسب اپراتورها در کنترل فرآیندها به عنوان تهدید عملیاتی شناخته می‌شود. از آنجایی که هشدارها یکی از مهم‌ترین پارامترها در سیستم‌های اسکادا می‌باشند، در این مقاله یک سیستم تشخیص ناهنجاری مبتنی بر هشدار برای مقابله با تهدیدهای عملیاتی در سیستم اسکادا ارائه شده است. در این سیستم از روش‌های کنترل کیفیت آماری برای تعیین حدود کنترلی و تشخیص ناهنجاری استفاده شده است. مقدار ناهنجاری متناسب با شدت هشدارهای برطرف نشده- طولانی به روزرسانی می‌شود. این سیستم قادر است تا ناهنجاری‌های بوجود آمده در شبکه و پست‌ها را به تفکیک و به صورت بی‌درنگ شناسایی کند. نتایج شبیه‌سازی در شبکه‌های پتری رنگی و با استفاده از داده‌های سیستم اسکادای شبکه برق ایران نشان می‌دهد که روش پیشنهادی از کارایی لازم برخوردار است.

**کلید واژه‌ها:** تشخیص ناهنجاری، تهدید خودی، هشدار، اسکادا.

## An Anomaly Detection System for Operational Threats in SCADA System

P. Mahmoudi Nasr, A. Yazdian Varjani\*

Tarbiat Modares University

(Received: 09/11/2015; Accepted: 12/01/2016)

### Abstract

One of the most dangerous insider threats in a supervisory control and data acquisition (SCADA) system is operational threat. An operational threat occurs when an SCADA operator does not perform his duties, or decides to abuse the privileges in order to perform malicious operations in remote substations. An operational threat on a critical infrastructure has the potential to cause large financial losses and irreparable damages at the national level. In this paper a new alarm-based anomaly detection system has been proposed to detect operational threats in SCADA system. The proposed system uses statistical quality control techniques for detecting anomalies and estimating control limits. The value of anomaly is calculated according to the severity of longed-unresolved alarms. The simulation results in power system SCADA as a case study show effectiveness of proposed system.

**Keywords:** Anomaly Detection, Alarm, Insider Threat, SCADA.

\*Corresponding Author E-mail: Yazdian@modares.ac.ir

Advanced Defence Sci. & Tech. 2016, 10, 209-218.

اختلال در فرآیندهای جاری، شکست یک فرآیند و یا انجام یک فرآیند نادرست در سیستم می شوند. به عنوان نمونه می توان به نشتی خطوط لوله شرکت اینبریج<sup>۹</sup> در سال ۲۰۱۰ اشاره کرد که به واسطه مدیریت نامناسب هشدارها در سیستم اسکادا به وجود آمد [۷]. هدف این مقاله یک سیستم تشخیص ناهنجاری<sup>۱۰</sup> برای شناسایی تهدیدهای عملیاتی در سیستم اسکادا است.

با وجود آن که تحقیقات فراوانی به منظور شناسایی ناهنجاری در سیستم اسکادا تاکنون انجام شده [۸-۱۴] اما منابع محدودی [۱۵-۱۸] به شناسایی عملکرد نامناسب اپراتورها پرداخته اند. بسیاری از منابع [۸ و ۱۰-۱۴] با استفاده از آنالیز ترافیک داده های اسکادا به شناسایی الگوهای نامتعارف ترافیکی پرداخته اند. اگرچه این گونه روش ها دارای کاربرد فراوان هستند اما به دلیل آن که در تهدیدهای عملیاتی از مجوزهای قانونی برای کنترل فرآیندهای سیستم استفاده می شود، آنالیز ترافیک داده ها قادر به شناسایی ناهنجاری نمی باشند. برخی منابع به مرور روش های تشخیص ناهنجاری در سیستم اسکادا پرداخته اند [۸ و ۹]. یک چارچوب<sup>۱۱</sup> تشخیص ناهنجاری برای سیستم های کنترل صنعتی با استفاده از مدل مارکوف ترافیک شبکه Modbus توسط یون و همکاران [۱۰] ارائه شده است. به منظور شناسایی دسترسی های غیرمجاز، ژو و همکاران [۱۱] با استفاده از سیستم تشخیص نفوذ Snort ابزاری نظری از رویدادهای سیستم اسکادا ارائه کرده اند. کارکانو و همکاران [۱۲-۱۴] راه کاری برای شناسایی مجموعه های از وضعیت های بحرانی از پیش تعريف شده در سیستم اسکادا ارائه کرده اند. در این منابع وضعیت بحرانی بدنوعی از پیکربندی سیستم اطلاق می شود که موجب توقف و یا ایجاد خرابی در سیستم گردد. این منابع با استفاده از دستورات کنترلی اپراتور بر روی سیستم شبیه ساز، فاصله وضعیت جاری سیستم را از مجموعه وضعیت های بحرانی از پیش تعیین شده محاسبه می کنند. چنانچه این فاصله از مقدار آستانه کمتر شود به عنوان یک ناهنجاری شناسایی و اعلام خواهد شد. در این منابع به ترتیب اثبات روش [۱۲]، نحوه دست یابی به دستورهای کنترلی اپراتور در شبکه های Modbus و DNP3 [۱۳] و نتایج شبیه سازی [۱۴] آورده شده است. بالدوسلی و همکاران [۱۵] با استفاده از اطلاعات مربوط به ترافیک متعارف و شناخته شده در سیستم اسکادا، روشی برای شناسایی الگوهای ترافیکی نامتعارف ارائه کرده اند. هادزیومانویچ [۱۶] با استفاده از داده کاوی فایل ثبت وقایع<sup>۱۲</sup> در سیستم های کنترل صنعتی روشی برای تشخیص حمله به فرآیندها در سیستم اسکادا ارائه کرده است. این منبع با

## ۱. مقدمه

سیستم های اسکادا<sup>۱</sup> سیستم های پیچیده و توزیع شده ای هستند که به منظور پایش<sup>۲</sup> و کنترل بی درنگ<sup>۳</sup> فرآیند های صنعتی در زیرساخت های حیاتی مانند شبکه های توزیع برق، آب، نفت و گاز استفاده می شوند. حمله به سیستم های اسکادا در زیرساخت های حیاتی منجر به بروز حوادث زنجیره ای<sup>۴</sup> در فعالیت های اقتصادی و صنعتی خواهد شد. به همین دلیل تأمین امنیت اسکادا نقش به سزایی در تأمین امنیت ملی خواهد داشت. این در حالی است که گزارش های دریافتی نشان می دهند که سیستم های اسکادا در معرض انواع تهدیدهای می باشند [۱].

یکی از تهدیدهای خطرناک در انواع سیستم های کامپیوتری، تهدید کاربران خودی<sup>۵</sup> است. این تهدید هنگامی اتفاق می افتد که کاربر قانونی، یا مهاجمی که به مجوزهای قانونی دسترسی پیدا کرده، با سوءاستفاده از مجوزها و انجام دستورهای قانونی موجب ایجاد نتیجه های غیرقانونی در سیستم می شود. بنا بر تحقیقات انجام شده ۳۳٪ مجموع حوادث سایبری در سال [۲۰۱۰، ۲۱٪ حملات در سال ۲۰۱۱ و ۶۰٪ کلاهبرداری ها در سال ۲۰۱۲] از نوع حمله خودی بوده و در سیستم های اسکادا ۳۰٪ حملات در سال های ۲۰۰۱ تا ۲۰۰۳ [۴] و ۳۳٪ [۵] از نوع خودی و توسط کاربران ناراضی انجام شده است. ۳۴٪ حملات ثبت شده در سال ۲۰۱۳ از نوع حمله خودی بوده است [۶].

یکی از انواع تهدیدهای خودی در سیستم اسکادا تهدید عملیاتی است. تهدیدهای عملیاتی توسط اپراتور اسکادا، یا مهاجمی که به مجوزهای اپراتور دسترسی پیدا کرده انجام می شود و هدف آن ایجاد اختلال در فرآیندهای سیستم و افزایش ناهنجاری در شبکه است. در سیستم اسکادا پایش وضعیت<sup>۷</sup> سیستم، کنترل فرآیندها، انجام واکنش به موقع نسبت به رویدادها و هشدارها و درنهایت کنترل بی درنگ قابلیت اطمینان<sup>۸</sup> شبکه به عهده اپراتورها است. به همین دلیل اپراتورهای اسکادا دارای نقش کلیدی بوده و تصمیم های آن ها تأثیر فراوانی در حفظ قابلیت اطمینان شبکه دارد. چنانچه اپراتورها با بی توجهی به هشدارها، تأخیر در برطرف کردن هشدارها و ارسال دستورهای قانونی اشتباه (عمدی یا غیرعمدی) وظایف خود را به درستی انجام ندهند موجب جلوگیری و یا تأخیر در انجام یک فرآیند،

<sup>۱</sup> Supervisory Control and Data Acquisition (SCADA)

<sup>۲</sup> Monitoring

<sup>۳</sup> Real-Time

<sup>۴</sup> Process

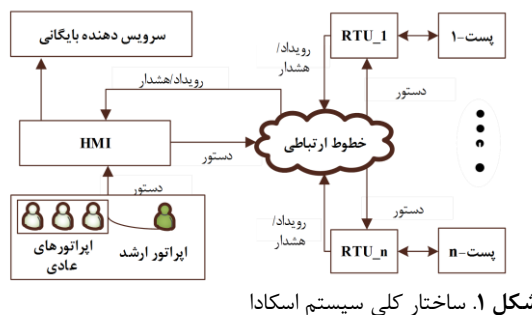
<sup>۵</sup> Cascade

<sup>۶</sup> Insider threat

<sup>۷</sup> Status

<sup>۸</sup> Reliability

یک شبکه مخابراتی خصوصی و یا عمومی برای مرکز کنترل ارسال می‌شوند. سرویس دهنده HMI<sup>۵</sup> در مرکز کنترل داده‌های دریافتی را به اپراتورها نمایش داده و بر عکس فرمان‌های کنترلی اپراتورها را برای تجهیزات داخل پست‌ها ارسال می‌کند<sup>[۱۹ و ۲۰]</sup>. هرگونه تغییر در شرایط سیستم که نیازمند توجه اپراتورها باشد در قالب یک هشدار اعلام خواهد شد. هنگامی که خطای خارجی دریکی از تجهیزات شبکه به وجود می‌آید، سیستم‌های حفاظتی در پست هشدار می‌کنند. اپراتورهای اسکادا با مشاهده هشدار (ها) ابتدا آن (ها) را تصدیق<sup>۶</sup> کرده و سپس اقدام مقتضی برای بروطوف شدن آن (ها) را انجام می‌دهند. تمامی داده‌ها و فرمان‌ها در سرویس دهنده بایگانی<sup>۷</sup> ذخیره می‌گردند. شکل (۱) ساختار کلی سیستم اسکادا را نشان می‌دهد.



شکل ۱. ساختار کلی سیستم اسکادا

## ۱-۱. اپراتورهای اسکادا

در سیستم اسکادا اپراتورها نقش کلیدی داشته و بر اساس دستورالعمل‌های ثابت بهره‌برداری وظیفه کنترل و نظارت بر فرآیندها، واکنش به موقع نسبت به رویدادها و هشدارها و صدور فرمان‌های کنترلی به منظور حفظ قابلیت اطمینان سیستم را به عهده دارند. هنگامی که هشداری از طرف یکی از پست‌های تحت نظر اپراتور در صفحه نمایش سرویس دهنده HMI ظاهر می‌شود، اپراتور با بررسی دقیق و تصمیم‌گیری به موقع سعی در برطرف کردن آن هشدار می‌نماید. هرگونه تأخیر و اشتباہ اپراتور می‌تواند خسارت‌های جبران‌ناپذیری به همراه داشته و قابلیت اطمینان سیستم را با مشکل روبرو کند.

پردازش به موقع هشدارها و تصمیم‌گیری در مورد نحوه بروطوف کردن آن‌ها امری دشوار و پراسترس حتی برای اپراتورهای با تجربه است. به منظور کاهش استرس کاری اپراتور و افزایش امنیت سیستم، معمولاً از تکنیک‌های هوشمند پردازش هشدار<sup>۸</sup>

بررسی معنایی داده‌های سیستم، الگوهای غیرتکراری را در فایل ثبت وقایع شناسایی می‌کند. محدودیت این روش وابستگی به ثبت رویدادهای ناشی از عملکرد اپراتور در فایل ثبت وقایع است. این در حالی است که ممکن است اپراتور نسبت به یک هشدار واکنشی نشان ندهد و درنتیجه رویدادی در فایل ثبت وقایع ذخیره نگردد. نویسنده در مقاله دیگری [۱۷] نیز یک روش مبتنی بر معنا برای تشخیص حمله به فرآیندهای کنترل کننده‌های منطقی برنامه‌پذیر<sup>۱</sup> ارائه کرده است. این منبع ابتدا با استفاده از داده‌های زمانی برای هر یک از متغیرهای کرده و سپس با ایجاد سری‌های زمانی موردنظر آن فرآیند را در سیستم بررسی می‌کند. با شاپ [۱۸] برای تشخیص حمله به فرآیندها، از آنالیز ویژگی‌های فرآیند مانند محramانگی داده‌ها، درستی عملکرد فرآیند و دسترس پذیری نتایج آن استفاده کرده است. بر این اساس نوآوری‌های این مقاله عبارت‌اند از:

- تعیین هشدارهای بروطوف نشده - طولانی در سیستم اسکادا با استفاده از تخمین زمان موردنیاز برای بروطوف شدن انواع هشدارها.
- پیشنهاد یک سیستم تشخیص ناهنجاری مبتنی بر هشدار با استفاده از تکنیک‌های کنترل کیفیت آماری<sup>۲</sup> به منظور شناسایی تهدیدهای عملیاتی.

در سیستم اسکادا فرض بر آن است که اپراتورها وظیفه بروطوف کردن هر چه سریع‌تر هشدارها را به عهده دارند، لذا هرگونه تهدید عملیاتی اپراتورها ممکن است موجب افزایش تعداد هشدارهای بروطوف نشده گردد. در سیستم پیشنهادی با تعیین سطح بحرانی بودن<sup>۳</sup> پست‌ها و سطح شدت انواع هشدارها، از مجموع شدت هشدارهای بروطوف نشده - طولانی به عنوان شاخصی برای اندازه‌گیری میزان ناهنجاری هر یک از پست‌ها و شبکه استفاده می‌شود. چنانچه میزان ناهنجاری از سطح آستانه بیشتر شود به عنوان ناهنجاری شناسایی می‌گردد. برای تعیین سطح آستانه ناهنجاری از روش‌های کنترل کیفیت آماری استفاده شده است.

## ۲. سیستم اسکادا: فرصت‌ها و چالش‌ها

سیستم‌های اسکادا وظیفه پایش و کنترل بی‌درنگ فرآیندهای شبکه‌های صنعتی را به عهده دارند. در این سیستم‌ها داده‌های اندازه‌گیری شده در پست‌ها به وسیله<sup>۴</sup> RTU جمع‌آوری و از طریق

<sup>5</sup> Human Machine Interface (HMI)

<sup>6</sup> Acknowledge

<sup>7</sup> Historian Server

<sup>8</sup> Intelligent Alarm Processing

<sup>۱</sup> Programmable Logic Controllers (PLC)

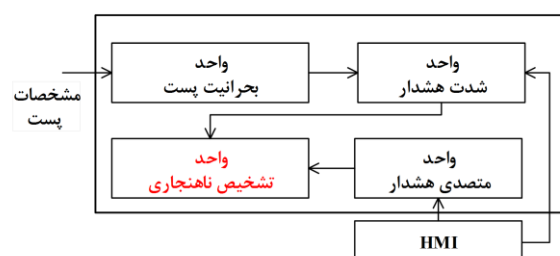
<sup>2</sup> Statistical Quality Control

<sup>3</sup> Criticality

<sup>4</sup> Remote Terminal Unit

اسکادا هرچه اپراتور از مهارت بیشتری در کنترل شبکه برخوردار باشد از میزان شدت هشدارهای برطرف نشده کاسته می‌شود. در حالی که تهدیدهای عملیاتی اپراتور موجب افزایش تعداد هشدارهای برطرف نشده در سیستم می‌گردد؛ بنابراین از آنجا که اپراتورها در صدد برطرف کردن هر چه سریع‌تر هشدارها می‌باشند، از میزان شدت هشدارهای برطرف نشده می‌توان به عنوان شاخصی برای تعیین شدت ناهنجاری استفاده کرد.

شكل (۲) ساختار سیستم پیشنهادی را نشان می‌دهد. واحد بحرانیت-پست وظیفه محاسبه سطح بحرانی بودن پست‌ها را به عهده دارد. واحد شدت-هشدار نیز سطح شدت هشدارها را محاسبه می‌کند. واحد متصلی-هشدار وظیفه تعیین وضعیت هشدارهای دریافتی از سرویس‌دهنده HMI را به عهده دارد (در مورد وضعیت هشدارها در بخش‌های بعدی توضیح داده خواهد شد). واحد تشخیص-ناهنجاری با بررسی وضعیت هشدارها، میزان ناهنجاری سیستم را محاسبه کرده و در صورت تشخیص ناهنجاری آن را اعلام می‌کند.



شكل ۲. ساختار سیستم پیشنهادی تشخیص ناهنجاری

### ۳.۱. تعیین سطح بحرانی بودن پست

یک روش مبتنی بر قابلیت اطمینان برای تعیین سطح بحرانی بودن پست‌ها و تأثیر آن‌ها در میزان کارایی شبکه قدرت در [۲۳] ارائه شده است. اگرچه از قابلیت اطمینان می‌توان برای رتبه‌بندی و تعیین سطح بحرانی بودن پست‌ها استفاده کرد، اما از معیارهای متفاوت دیگری نیز می‌توان بهره جست مانند، میزان درآمد پست، افزونگی تجهیزات، وغیره. در این مقاله از یک روش کمی مبتنی بر ویژگی‌های پست (مانند ظرفیت، سطح ولتاژ، اهمیت در شبکه، تعداد فیدرهای ورودی/خروجی، موقعیت جغرافیایی و اهمیت ناحیه تحت پوشش، وغیره) برای تعیین سطح بحرانی بودن پست‌ها استفاده شده است. فرض کنید مجموعه  $\{p_1, p_2, \dots, p_k\}$  شامل ویژگی‌های پست و  $w_{p_j} \in [0, 1]$  مقدار وزن ویژگی  $p_j$  و تعداد پست‌ها باشد. چنانچه  $[0, 1] \in g_{p_{ij}}$  امتیاز کسب شده پست  $i$ ام برای ویژگی  $p_j$  باشد، سطح نسبی بحرانی بودن پست با استفاده از رابطه زیر محاسبه خواهد شد:

۲۱] مانند اولویت‌بندی و فیلتر کردن هشدارها استفاده می‌شود.

### ۳.۲. تهدیدهای عملیاتی

تهدیدهای اسکادا را می‌توان به دو گروه تهدیدهای خودی (داخلی) و غیرخودی (خارجی) تقسیم کرد. تهدیدهای غیرخودی توسط کاربران غیرمجاز و خارج از سیستم مانند هکرها و دولت‌های متخاصم انجام‌شده، در حالی که تهدیدهای خودی توسط کاربران مجاز (و یا مهاجمی) که به مجوزها دسترسی پیداکرده و با سوءاستفاده از مجوزهای قانونی انجام می‌شود. اگرچه تعداد تهدیدهای خودی ممکن است کمتر از تعداد تهدیدهای غیرخودی باشد اما میزان موفقیت و آسیب آن‌ها به مرأت بیشتر وجدی‌تر از تهدیدهای غیرخودی است [۲۲]. این امر به دلیل آن است که کاربران خودی دسترسی فیزیکی و قانونی به تجهیزات داشته، دانش کافی از سیستم‌های کامپیوتری و نرم‌افزارهای مربوطه دارند، و از همه مهم‌تر از قوانین و سیستم‌های امنیتی لحاظ شده آگاهی دارند.

تهدیدهای عملیاتی یکی از انواع تهدیدهای خودی در سیستم اسکادا است. این تهدید هنگامی رخ می‌دهد که اپراتور:

- وظایف خود را بر اساس دستورالعمل‌های ثابت بهره‌برداری به درستی انجام نمی‌دهد (عمدی و یا غیرعمدی).
- با سوءاستفاده از مجوزهای قانونی موجب ایجاد اختلال و شکست فرآیندها می‌شود.
- به طور غیرعمدی مرتكب اشتباه در کنترل فرآیندها سیستم می‌شود.

بنابراین تهدیدهای عملیاتی را می‌توان به صورت زیر دسته‌بندی کرد:

(۱) تهدید وابسته به هشدارها: این تهدید هنگامی به وقوع می‌پیوندد که اپراتور هشدارها را به موقع برطرف نمی‌کند. تصدیق گروهی و نادیده<sup>۱</sup> گرفتن هشدارها، تأخیر در برطرف کردن هشدارها و پاسخ اشتباه به هشدارها (ناقص و یا نامناسب) از انواع این تهدید است.

(۲) تهدید پیکربندی: این تهدید هنگامی به وقوع می‌پیوندد که تنظیم نامناسبی دریکی از تجهیزات پست توسط اپراتور (عمدی و یا غیرعمدی) ایجاد می‌شود؛ مانند تغییر نامناسب تپ‌چنجر ترانسفورماتور و بازبسته کردن نامناسب فیدرهای خروجی در شبکه قدرت.

### ۳. سیستم پیشنهادی تشخیص ناهنجاری

در این بخش یک سیستم مبتنی بر هشدار به منظور تشخیص ناهنجاری در تهدیدهای عملیاتی ارائه خواهد شد. در سیستم

<sup>۱</sup> Ignore

برای تعیین شدت خطای که وابسته به تهدیدهای عملیاتی اپراتور است، ضروری است تا فرست کافی برای برطرف شدن هر هشدار به اپراتور داده شود. چنانچه هشداری در فرست زمانی از پیش تعیین شده برطرف نشود، آن گاه به عنوان شاخصی برای تعیین شدت خطای وابسته به تهدیدهای عملیاتی در نظر گرفته خواهد شد. پر واضح است که فرست زمان موردنیاز برای برطرف شدن هر هشدار (که در این مقاله با عنوان فرست-هشدار شناسایی می‌شود)، مقداری متغیر و متفاوت از هر هشدار دیگر می‌تواند باشد. بحث بیشتر در مورد نحوه تعیین مقدار فرست-هشدار در بخش بعدی آمده است. هنگامی که هشداری در مرکز کنترل نمایش داده می‌شود، ضروری است تا اپراتور قبل از اتمام فرست-هشدار از پیش تعیین شده آن را برطرف نماید. چنانچه هشداری در فرست تعیین شده برطرف نشود به عنوان یک هشدار-برطرف نشده-طولانی در سیستم شناخته می‌شود. در این مقاله شدت خطای وابسته به تهدیدهای عملیاتی اپراتور (که با متغیر  $U$  نشان داده می‌شود) با استفاده از مجموع شدت هشدارهای-برطرف نشده-طولانی اندازه‌گیری می‌شود. در شرایط عادی هنگامی که شبکه تحت کنترل است، اپراتور در اسرع وقت اقدام به برطرف کردن هشدارها می‌نماید، لذا مقدار  $U$  معمولاً صفر و یا نزدیک به صفر است. چنانچه مقدار  $U$  از حداقل مقدار آستانه<sup>۳</sup> خارج شود به عنوان شرایط ناهنجار در سیستم شناسایی و اعلام می‌گردد.

توجه به این نکته ضروری است که مقدار  $U$  در دو صورت از حد آستانه خارج می‌شود: (۱) تهدیدهای عملیاتی (۲) سیل-هشدار<sup>۴</sup>. سیل-هشدار هنگامی ایجاد می‌شود که یک یا تعدادی خطا در شبکه منجر به جاری شدن سیل‌آسای هشدارهای تکراری و زنجیره‌ای به ترتیبی می‌شوند که اپراتور فرست کافی برای برطرف کردن آن‌ها را ندارد. هشدارهای سیل‌آسا شرایطی را ایجاد می‌کنند که حتی اپراتورهای با تجربه قادر به برطرف کردن آن‌ها و شناسایی عامل خطا نمی‌باشند. بر اساس استاندارد نرخ ایجاد ۱۰ هشدار در ۱۰ دقیقه برای هر اپراتور به عنوان شرایط سیل-هشدار شناسایی می‌شود [۲۵-۲۶].

خوب‌بختانه امروزه برای جلوگیری از ایجاد شرایط سیل-هشدار در سیستم‌های اسکادا از تکنیک‌های هوشمند پردازش هشدار استفاده می‌شود [۲۱ و ۲۷]. یک پردازنده هوشمند هشدار<sup>۵</sup> قادر است تا علاوه بر کاهش تعداد هشدارهای نمایش داده شده، راه‌کارهای مناسب برطرف شدن هشدار را نیز به اپراتور پیشنهاد دهد [۲۱]؛ لذا چنانچه سیستم اسکادا مجهز به یک پردازنده

$$CR_{sub_i} = \frac{\sum_{j=1}^k w_{pj} \cdot g_{pj}}{\max_{1 \leq i \leq n} \sum_{j=1}^k w_{pj} \cdot g_{pj}} \quad (1)$$

در این رابطه  $CR_{sub_i} \in [0, 1]$  که با عنوان بحرانیت نسبی شناخته می‌شود عبارت از نسبت امتیاز کسب شده پست تام به حداقل امتیاز کسب شده پست‌ها در شبکه است.

## ۲-۳. تعیین سطح شدت هشدار

از معیارهای متفاوتی مانند شدت پیامدها، مدت زمان پاسخگویی، محل وقوع، تجهیز عامل و ... می‌توان برای گروه‌بندی و تعیین نوع هشدارها استفاده کرد. در شبکه برق ایران هشدارها با توجه به شدت پیامدها، به دو گروه اصلی<sup>۱</sup> و فرعی<sup>۲</sup> تقسیم می‌شوند. هشدارهای اصلی مانند DC/AC Circuit breaker failure (supply failure) هشدارهای اولیه‌ای هستند که اپراتور با برطرف کردن به موقع آن‌ها، از ایجاد هشدارهای فرعی مانند (Over-current/voltage relay trip و Differential relay trip) جلوگیری به عمل می‌آورد. به عبارت دیگر هشدارهای فرعی شرایط و خیمتری را در سیستم اعلام می‌کنند. فهرستی از انواع هشدارهای اصلی و فرعی در منبع [۲۴] آمده است. در این مقاله سطح شدت هر هشدار متناسب با نوع هشدار و سطح بحرانی بودن پستی که هشدار در آن اتفاق افتاده تعیین می‌گردد. فرض کنید هشدارها به  $m$  نوع گروه‌بندی شده باشند. چنانچه شدت هر یک از هشدارهای نوع  $j$  از پست تام به صورت زیر محاسبه می‌شود.

$$Sev_{ij} = CR_{sub_i} \cdot W_j \quad (2)$$

چنانچه  $1 = Sev_{ij}$  باشد نشان‌دهنده حداقل شدت هشدار و بر عکس چنانچه  $0 = Sev_{ij}$  یعنی هشدار بدون شدت است.

## ۳-۳. روش تشخیص ناهنجاری

روش پیشنهادی برای تشخیص ناهنجاری بر پایه هشدار و با استفاده از روش‌های کنترل کیفیت آماری است. می‌دانیم که هرگونه اختلال و خطای ایجاد شده در شبکه به صورت یک یا چند هشدار در سیستم اسکادا ثبت می‌شود. چنانچه اپراتور بتواند هشدار (ها) را به موقع برطرف نماید به معنای برطرف شدن اختلال یا خطای ایجاد شده است؛ اما اگر هشدار (ها) برطرف نشود، اختلال یا خطای همچنان در شبکه باقی‌مانده است. لذا می‌توان از هشدارهای برطرف نشده به عنوان شاخصی برای تعیین شدت خطای موجود در شبکه استفاده کرد.

<sup>3</sup> Upper Control Limit (UCL)

<sup>4</sup> Alarm Flooding

<sup>5</sup> Intelligent Alarm Processor

<sup>1</sup> Major

<sup>2</sup> Minor

نمایی<sup>۱</sup> بهمنظور تعیین مقدار میانگین  $RST_j$  استفاده کرد.

$$RST_j^{estimate} = (1 - \alpha)RST_j^{estimate} + \alpha \cdot RST_j^{sample} \quad (4)$$

در این رابطه  $RST_j^{estimate}$  مقدار میانگین فرصت- هشدار از نوع  $\alpha$  ضریب آخرین نمونه است. با محاسبه قدر مطلق تفاصل بین  $RST_j^{estimate}$  و  $RST_j^{sample}$  مقدار تفاوت هر نمونه اندازه گیری شده از مقدار متوسط فرصت- هشدار به دست می آید. رابطه (۵) نحوه محاسبه میانگین تغییرات  $RST_j$  با استفاده از رابطه متوجه موزون نمایی را نشان می دهد.

$$RST_j^{deviation} = (1 - \beta)RST_j^{deviation} + \beta \cdot |RST_j^{sample} - RST_j^{estimate}| \quad (5)$$

و به این ترتیب مقدار فرصت- هشدار از رابطه (۶) محاسبه می شود.

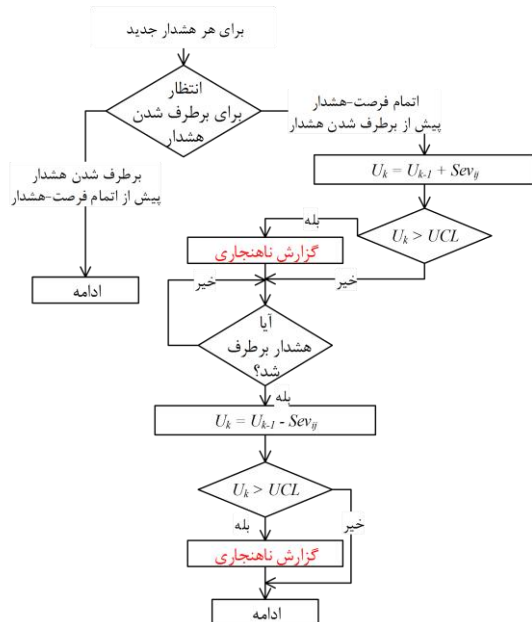
$$RST_j^{timeout} = RST_j^{estimate} + \rho \cdot RST_j^{deviation} \quad (6)$$

در روابط (۵) و (۶)،  $\beta$  ضریب اختلاف بین  $RST_j^{estimate}$  و  $RST_j^{sample}$  و  $\rho$  ضریب متوسط تغییرات  $RST_j$  است. بنابراین هنگامی یک هشدار از نوع زبه عنوان یک هشدار- برطرف نشده- طولانی شناخته خواهد شد که در فرصت- هشدار  $RST_j^{timeout}$  برطرف نشود.

تعیین حدود کنترلی: به منظور آنالیز متغیر  $U$  و تعیین حدود کنترلی از روش های کلاسیک کنترل کیفیت آماری برای کنترل عدم انطباق ها<sup>۲</sup> [۲۸] (مانند انواع نمودارهای  $D$ ,  $c$ ,  $u$ ,  $p$ ) می توان استفاده کرد. در این نمودارها حدود کنترلی در شرایطی تعیین می گردد که داده های جمع آوری شده متعلق به شرایط کنترل و پایدار سیستم باشند. در این مقاله هر هشدار- برطرف نشده- طولانی به مثابه یک خرابی و یا عدم انطباق در یک فرآیند تولیدی و یا پردازشی در مدل های آماری فرض شده است. با توجه به آنکه مقدار ناهنجاری هر هشدار- برطرف نشده- طولانی متناسب با شدت آن متفاوت است، ضروری است تا از نمودار کنترل نقص<sup>۳</sup> برای تعیین حدود کنترلی استفاده شود. لازمه استفاده از این نمودار آن است که توزیع آماری نقص ها (ترافیک هشدارهای- برطرف نشده- طولانی) مطابق با توزیع پواسون باشد [۲۸ و ۲۹]. در بحث کنترل کیفیت آماری برای فرآیندهای تولیدی و پردازشی معمولاً فرض می کنند که توزیع آماری تعداد نقص ها مطابق با توزیع پواسون است. به طور مشابه بسیاری از منابع مانند [۳۰ و ۳۱] از توزیع پواسون برای مدل سازی ترافیک داده های اسکادا استفاده کرده اند. در سیستم های اسکادا از آنجایی که

هوشمند هشدار باشد، تهدید عملیاتی تنها عامل افزایش مقدار  $U$  و خارج شدن آن از حد آستانه خواهد بود.

با فرض استفاده از یک پردازنده هوشمند هشدار، شکل (۳) نحوه محاسبه  $U$  را به صورت بی درنگ نشان می دهد.



شکل ۳. مراحل شناسایی ناهنجاری به صورت بی درنگ

متغیر  $U$  با شروع از مقدار صفر و متناسب با شدت هشدارها تغییر می کند. مقدار  $U$  هنگامی که هشداری در فرصت- هشدار از پیش تعیین شده برطرف نشود افزایش، و هنگامی که یک هشدار- برطرف نشده- طولانی برطرف شود کاهش می یابد. به عبارت دیگر مقدار  $U$  با استفاده از مجموع وزنی تعداد هشدارهای- برطرف نشده- طولانی به صورت زیر محاسبه می شود:

$$U_k = \sum_{i=1}^n \sum_{j=1}^m Sev_{ij} \cdot C_{ijk} \quad (3)$$

در این فرمول  $C_{ijk}$  تعداد هشدارهای- برطرف نشده- طولانی از نوع  $j$  در پست نام و  $k$  شماره نمونه گیری (مرحله بازرسی) است. هنگامی که مقدار  $U_k$  از حد آستانه خارج شود یک وضعیت ناهنجار در سیستم شناسایی و اعلام خواهد شد.

تخمین فرصت- هشدار: در سیستم پیشنهادی فرصت- هشدار برای هر هشدار از نوع  $j$  (که با  $RST_j$  نمایش داده می شود) به این صورت تخمین زده می شود. فرض کنید زمان سپری شده از هنگام ظاهر شدن یک هشدار در صفحه HMI تا هنگام برطرف شدن آن (به عنوان یک مقدار نمونه  $j$  ( $RST_j^{sample}$ ) با متغیر  $RST_j^{sample}$  نشان داده شود. پر واضح است که مقدار نمونه  $j$  ( $RST_j^{sample}$ ) از هر هشدار به هشدار دیگر متناسب با شرایط سیستم و رفتار اپراتور تغییر خواهد کرد. از آنجاکه آخرین نمونه های اندازه گیری شده گویای شرایط جاری سیستم می باشند، می توان از رابطه متوجه موزون

<sup>1</sup> Exponentially Weighted Moving Average (EWMA)

<sup>2</sup> Nonconformities

<sup>3</sup> Demerit Control Charts (D-chart)

معیار وزن دهی آنها را منطبق با داده‌های گزارش شده [۲۴] نشان می‌دهد. در جدول (۲) مقدار بحرانی بودن پست‌های شبیه‌سازی شده با استفاده از ویژگی‌های جدول (۱) و رابطه (۱) نشان داده شده است. به منظور تعیین مقدار فرصت-هشدار برای هر یک از انواع هشدارها و حدود کنترلی، داده‌های اولیه در شرایطی جمع‌آوری شده‌اند که سیستم در حالت پایدار و تحت کنترل کامل اپراتور بوده است.

جدول ۱. معیار وزن دهی برای تعیین بحرانیت پست‌ها

وزن	معیار وزن دهی	توضیحات	$W_{P_j}$	$P_j$
۱	ظرفیت ترانس‌ها < ۵۰ کم (انتقال)	ظرفیت ایستگاه (مگاولت آمیر)	۰/۵	$P_1$
	ظرفیت ترانس‌ها > ۵۰ کم (فوق توزیع)			
۰/۵	ظرفیت ترانس‌ها < ۵۰۰ کم (انتقال)	تعداد ترانسفورماتور	۰/۵	$P_2$
	ظرفیت ترانس‌ها > ۵۰۰ کم (فوق توزیع)			
۱	تعداد ترانس‌ها < ۲ عدد	نوع شینه بندی ایستگاه	۰/۵	$P_3$
	تعداد ترانس‌ها ≥ ۲ عدد			
۰/۷۵	کلید خانه	تعداد فیدرهای ورودی/خروجی	۰/۵	$P_4$
۰	بدون ترانس (فوق توزیع)			
۱	چند کلیدی (یک و نیم کلیدی)	روزگاری	۰/۵	$P_5$
۰/۵	دوبل/باس اصلی و فرعی/مش			
۰	باسپار ساده / حلقوی باز، H و $\pi$	امنیت ایستگاه در شبکه	۱	$P_6$
۱	تعداد > ۱۰ عدد			
۰/۵	تعداد < ۱۰ عدد < ۴ (انتقال)	امنیت ایستگاه در شبکه	۰/۵	$P_6$
۰/۵	تعداد < ۱۰ عدد < ۲ (فوق توزیع)			
۰	تعداد ≥ ۴ عدد (انتقال)			
۰	تعداد ≥ ۲ عدد (فوق توزیع)			
۱	رینگ	رینگ یا ساعی	۰/۵	$P_5$
۰/۵	شعاعی			
۱	بسیار مهم ( $> 1000\text{mV}$ )	امنیت ایستگاه در شبکه	۱	$P_6$
۰/۷۵	مهم			
۰/۵	معمولی ( $< 100\text{mV}$ )			

جدول ۲. سطح بحرانی بودن پست‌ها

امتیاز پست‌ها					عنوان
E	D	C	B	A	
۰/۵	۰/۲۵	۰/۵	۰/۵	۰/۵	$P_1$
۰/۵	۰/۵	۰/۵	۰/۲۵	۰/۵	$P_2$
۰	۰/۵	۰/۲۵	۰/۵	۰/۵	$P_3$
۰/۵	۰/۵	۰/۵	۰/۵	۰/۵	$P_4$
۰/۵	۰/۵	۰/۵	۰/۵	۰/۵	$P_5$
۰/۷۵	۱	۰/۶۲	۰/۷۵	۱	$P_6$
۲/۷۵	۳/۲۵	۲/۸۷	۳	۳/۵	جمع امتیاز
۰/۷۹	۰/۹۳	۰/۸۲	۰/۸۶	۱/۰	بحرانیت نسبی

احتمال وقوع هشدار در هر یک از منابع کم است و تعداد منابع بالقوه تولید هشدار به دلیل بزرگی و گستردگی شبکه در زیرساخت‌های حیاتی به اندازه کافی زیاد است، می‌توان از توزیع پوآسنون برای مدل‌سازی ترافیک هشدارها استفاده کرد. لذا با فرض آنکه متغیر  $U_k$  در رابطه (۳) یک ترکیب خطی از متغیرهای تصادفی مستقل با توزیع پوآسنون باشد، مقدار میانگین ناهنجاری با استفاده از رابطه زیر قابل محاسبه است.

$$\bar{U} = \sum_{i=1}^n \sum_{j=1}^m Sev_{ij} \cdot \bar{u}_{ij} \quad (7)$$

در این رابطه  $\bar{u}_{ij}$  میانگین تعداد هشدارهای - برطرف نشده - طولانی برای هر نوع هشدار از در پست نام است (=  $\bar{u}_{ij}$ ) که  $\sum_{k=1}^N C_{ijk}/N$  مجموع تعداد بازرسی‌ها است. درنهایت حدود کنترلی بالا و پایین<sup>۱</sup> به صورت زیر محاسبه خواهد شد.

$$UCL = \bar{U} + \varphi \cdot \hat{\sigma}_U, LCL = \bar{U} - \varphi \cdot \hat{\sigma}_U \quad (8)$$

$$\hat{\sigma}_U = \sqrt{\sum_{i=1}^n \sum_{j=1}^m Sev_{ij}^2 \cdot \bar{u}_{ij}} \quad (9)$$

در روابط بالا  $\hat{\sigma}_U$  انحراف معیار و  $\varphi$  ضریب انحراف معیار است و مقدار آن معمولاً برابر ۲ (برای حد اخطار) و یا ۳ (برای حد نهایی) در نظر گرفته می‌شود [۲۸]. از آنجاکه هر چه تعداد هشدارها کمتر باشد شبکه از قابلیت اطمینان بیشتر برخوردار است، مقدار حد آستانه پایین را می‌توان برابر با صفر قرار داد ( $LCL=0$ )

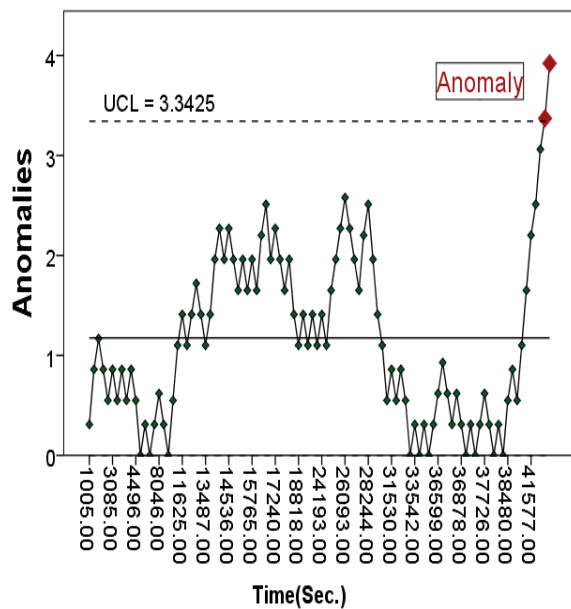
#### ۴. نتایج شبیه‌سازی

در این بخش به منظور آنکه نشان دهیم روش پیشنهادی قادر به شناسایی ناهنجاری در شرایط مختلف است از دو سناریوی اول تنها یکی از حمله متفاوت استفاده شده است. در سناریوی اول تنها یکی از پست‌ها تحت حمله عملياتی شدید قرار گرفته در حالی که در سناریوی دوم فرض بر آن است که اپراتور با زیرکی فراوان به منظور مخفی ماندن حملات، از حملات عملیاتی ضعیف اما گسترده بر روی همه پست‌ها استفاده می‌کند. داده‌های موردنیاز سناریوها با استفاده از شبکه‌های پتری رنگی<sup>۲</sup> در آزمایشگاه امنیت اسکادا ای سیستم‌های قدرت در دانشگاه تربیت مدرس [۳۲] و متناسب با داده‌های واقعی در سیستم اسکادا ای شبکه برق ایران شبیه‌سازی شده‌اند. سیستم اسکادا ای شبیه‌سازی شده دارای پنج پست انتقال و فوق توزیع است. جدول (۱) ویژگی‌های در نظر گرفته شده برای هر یک از پست‌ها انتقال و فوق توزیع و

<sup>1</sup> Lower Control Limit (LCL)

<sup>2</sup> Color Petri Net

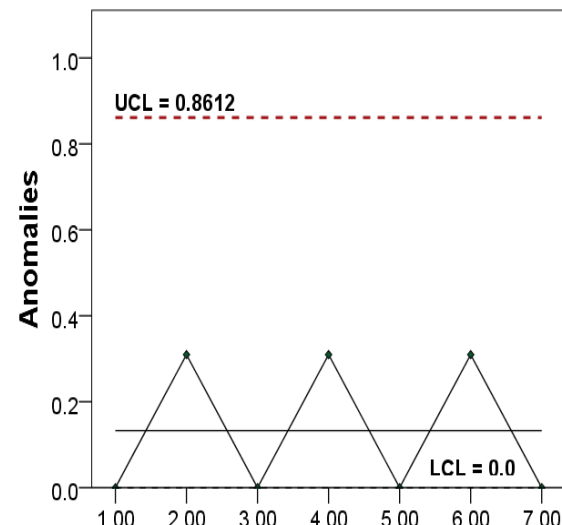
اپراتور قرار گرفته و با تأخیر برطرف شوند. هر چه تعداد هشدارهای -برطرف نشده- طولانی در پست B اضافه می‌شود مقدار ناهنجاری آن نیز افزایش می‌یابد. شکل (۵) تغییر ناهنجاری پست B را تا خروج از مقدار آستانه و تشخیص ناهنجاری نشان می‌دهد. مشاهده می‌شود که متناسب با رفتار اپراتور در برطرف کردن هشدارها، میزان ناهنجاری تغییر کرده است. در این سناریو از آغاز حمله اپراتور تا تشخیص ناهنجاری حدود ۱۱ ساعت گذشته است. در طی این مدت از میان ۵۰ هشداری که به موقع برطرف نشده و موجب افزایش ناهنجاری شده، ۴۳ هشدار قبل از خروج ناهنجاری از حد آستانه برطرف شده است.



شکل ۵. تغییر ناهنجاری در سناریوی حمله عملیاتی شدید به یک پست

سناریوی دوم، حمله عملیاتی ضعیف به همه پست‌ها: در این سناریو تمامی پست‌های شبکه مورد حمله ضعیف اپراتور قرار گرفته است. این سناریو ممکن است توسط اپراتور مهاجم به‌قصد مخفی نگهداشتن حمله و یا اشتباه‌های غیرعمدی اپراتور کم تجربه اتفاق بیافتد. در این سناریو سیستم شبیه‌سازی شده به نحوی پیکربندی شده است که اپراتور به ۳۰٪ از هشدارها با تأخیر پاسخ می‌دهد. شکل (۶) تغییر ناهنجاری هر یک از پست‌ها و شبکه را به تفکیک نشان می‌دهد. مشاهده می‌شود که تغییر ناهنجاری تمامی پست‌ها در محدوده مجاز است، اما ناهنجاری کلی شبکه از حد آستانه خارج شده است. در این سناریو حدود ۱۴ روز از آغاز حمله مخفیانه اپراتور تا شناسایی آن سپری شده است.

شکل (۴) نمودار تغییر ناهنجاری شبکه (متغیر U) برای داده‌های جمع‌آوری شده طی دو سال در شرایط پایدار سیستم را نشان می‌دهد. همان‌طور که مشاهده می‌شود مقدار ناهنجاری همواره برابر صفر بوده و تنها در سه مورد مقدار آن کمی از صفر بالاتر رفته است (مقادیر صفر تکراری در تهیه نمودار در نظر گرفته نشده‌اند).



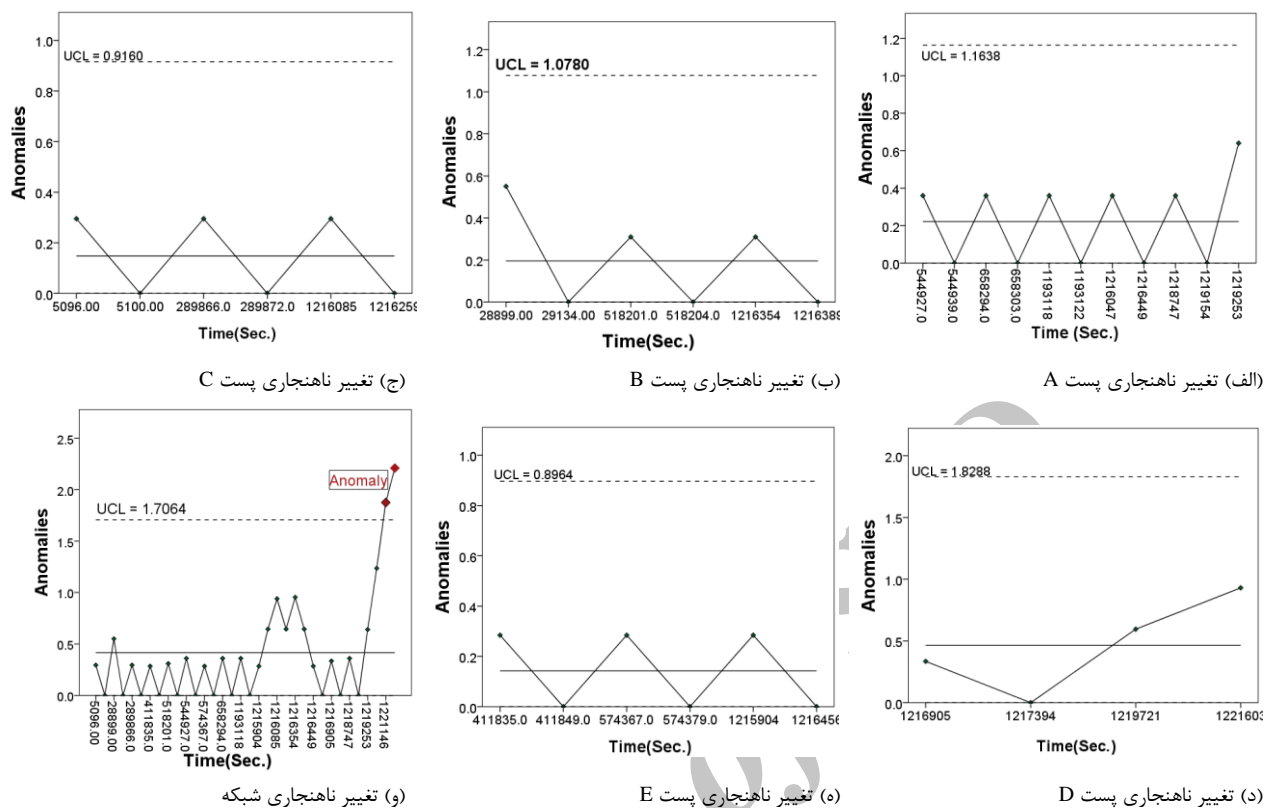
شکل ۴. تغییر ناهنجاری شبکه در شرایط پایدار

موارد دیگری که در انجام سناریوها در نظر گرفته شده‌اند عبارت‌اند از: (۱) مقدار ناهنجاری برای هر یک از پست‌ها و شبکه به‌طور جداگانه اندازه‌گیری شده‌اند. (۲) هشدارها به دو گروه اصلی<sup>۱</sup> و فرعی<sup>۲</sup> تقسیم شده‌اند. (۳) برای مطابقت هر چه بیشتر با شرایط واقعی، نرخ ایجاد هشدارهای اصلی چندین برابر نرخ هشدارهای فرعی در نظر گرفته شده است. (۴) مقادیر پارامترهای در نظر گرفته شده عبارت‌اند از:  $w_{l_{mi}} = 0.64$  برای هشدارهای فرعی،  $w_{l_{mj}} = 0.36$  برای هشدارهای اصلی،  $\alpha = 0.125$ ،  $\beta = \varphi = \rho = 2$ . (۵) برای جلوگیری از سیل- هشدارها از سیستم‌های هوشمند پردازش هشدار استفاده می‌شود. (۶) هیچ‌گونه تغییری در داده‌های دریافتی به منظور فریب سیستم اعمال نمی‌گردد.

سناریوی اول، حمله عملیاتی شدید به یک پست: در این سناریو، تنها پست B مورد حمله عملیاتی شدید اپراتور قرار گرفته و رفتار اپراتور نسبت به پست‌های دیگر به‌طور عادی فرض شده است؛ به عبارت دیگر سیستم شبیه‌سازی شده به نحوی پیکربندی شده است که ۷۰٪ هشدارهای پست B مورد بی‌توجهی

<sup>1</sup> Major

<sup>2</sup> Minor



شکل ۶. تغییر ناهنجاری به تفکیک در پست‌ها و شبکه در سناریوی حمله عملیاتی ضعیف به همه پست‌ها

## ۶. مراجع

- [1] Miller, B.; Rowe, D. "A Survey SCADA of and Critical Infrastructure Incidents"; Proc. of the 1st ACM Annual Conference on Research in Information Technology 2012, 51-56.
- [2] Baracaldo, N.; Joshi, J. "An Adaptive Risk Management and Access Control Framework to Mitigate Insider Threats"; Computers & Security 2013, 39, 237-254.
- [3] Legg, P. A.; Moffat, N.; Nurse, J. R.; Happa, J.; Agrafiotis, I.; Goldsmith, M.; Creese, S. "Towards a Conceptual Model and Reasoning Structure for Insider Threat Detection"; Journal of Wireless Mobile Networks, Ubiquitous Computing, and Dependable Applications 2013, 4, 20-37.
- [4] Asgarkhani, M.; Sitnikova, E. "A Strategic Approach to Managing Security in SCADA Systems"; Proc. of 13th European Conference on Cyber Warfare and Security 2014, 23-31.
- [5] Nicholson, A.; Webber, S.; Dyer, S.; Patel, T.; Janicke, H. "SCADA Security in the Light of Cyber-Warfare"; Computers & Security 2012, 31, 418-436.
- [6] Bao, H.; Lu, R.; Li, B.; Deng, R. "BLITHE: Behavior Rule Based Insider Threat Detection for Smart Grid"; IEEE Internet of Things Journal 2016, 3, 190-205.
- [7] National Transportation Safety Board "Pipeline Accident Report (No. NTSB/PAR-12/01 PB2012-916501)"; Washington, D.C., National Technical Information Service, 2010.

## ۵. نتیجه‌گیری

در این مقاله به منظور شناسایی تهدیدهای عملیاتی در سیستم اسکادا یک سیستم تشخیص ناهنجاری مبتنی بر هشدار، که به عنوان یکی از مهم‌ترین پارامترها در سیستم اسکادا محاسبه می‌شود، ارائه شده است. در این سیستم برای هر یک از پست‌ها یک سطح بحرانی بودن در نظر گرفته شده و میزان ناهنجاری متناسب با شدت هشدارهای -برطرف نشده- طولانی محاسبه می‌شود. روش پیشنهادی در مقایسه با روش‌های ارائه شده قادر است تا مقدار ناهنجاری را به صورت بی‌درنگ و به تفکیک برای هر یک از پست‌ها و شبکه محاسبه، و در صورت تشخیص ناهنجاری آن را شناسایی کند. علاوه بر آن، این روش می‌تواند ناهنجاری ناشی از تهدیدهای عملیاتی را حتی در صورت عدم واکنش اپراتور به هشدارها و عدم ثبت داده در فایل ثبت وقایع تشخیص دهد. این مقاله نشان داد که با استفاده از روش‌های شناخته شده کنترل کیفیت آماری، می‌توان ناهنجاری را در سیستم اسکادا شناسایی کرد.

- Igure, V. M.; Laughter, S. A.; Williams, R. D. "Security Issues in SCADA Networks"; *Computers & Security* 2006, 25, 498-506.
- [19] Stouffer, K.; Falco, J.; Scarfone, K. "Guide to Industrial Control Systems (ICS) Security"; NIST Special Publication 2008, 800-882.
- [20] Wu, Y.; Kezunovic, M.; Kostic, T. "An Advanced Alarm Processor Using Two-level Processing Structure"; *Power Tech.* 2007, 125-130.
- [21] Lopez, J.; Alcaraz, C.; Roman, R. "Smart Control of Operational Threats in Control Substations"; *Computers & Security* 2013, 38, 14-27.
- [22] Da Silva, A. M. L.; Violin, A.; Ferreira, C.; Machado, Z. S. "Probabilistic Evaluation of Substation Criticality Based on Static and Dynamic System Performances"; *IEEE Trans. Power Systems* 2014, 29, 1410-1418.
- [23] Niroo Research Institute (NRI) "Substation Automation Systems Standard (Transmission & Subtransmission S/S)"; Ministry of Energy of Iran, Tavanir, 2008, (In Persian).
- [24] Kondaveeti, S. R.; Izadi, I.; Shah, S. L.; Black, T.; Chen, T. "Graphical Tools for Routine Assessment of Industrial Alarm Systems"; *Computers & Chemical Engineering* 2012, 46, 39-47.
- [25] ANSI/ISA-18.2 "Management of Alarm Systems for the Process Industries"; International Society of Automation, Research Triangle Park, 2009.
- [26] Mayadevi, N.; Ushakumari, S. S.; Vinodchandra, S. S. "SCADA-based Operator Support System for Power Plant Equipment Fault Forecasting"; *Journal of the Institution of Engineers (India): Series B*, 2014, 95, 369-376.
- [27] Montgomery, D. C. "Introduction to Statistical Quality Control"; John Wiley & Sons, 2009, 288-344.
- [28] Nembhard, D. A.; Nembhard, H. B. "A Demerits Control Chart for Autocorrelated Data"; *Quality Engineering* 2000, 13, 179-190.
- [29] Xin, J.; Shi, D.; Duan, X. "Implementation of Integrative Information Transmission in Substation with DiffServ Network"; Proc. of International Conference on Power System Technology IEEE 2004, 763-767.
- [30] Zhao, J.; Xu, Y.; Luo, F.; Dong, Z.; Peng, Y. "Power System Fault Diagnosis Based on History Driven Differential Evolution and Stochastic Time Domain Simulation"; *Information Sciences* 2014, 275, 13-29.
- [31] TMU SPMLAB, <http://www.irancert.ir>, 2015.
- [8] Barbosa, R. R. R. "Anomaly Detection in SCADA Systems: A Network Based Approach"; University of Twente, 2014.
- [9] Garitano, I.; Uribeetxeberria, R.; Zurutuza, U. "A Review of SCADA Anomaly Detection Systems"; Proc. of the 6th International Conference SOCO in Soft Computing Models in Industrial and Environmental Applications 2011, 357-366.
- [10] Yoon, M. K.; Ciocarlie, G. F. "Communication Pattern Monitoring: Improving the Utility of Anomaly Detection for Industrial Control Systems"; Proc. of the NDSS Workshop on Security of Emerging Networking Technologies (SENT), 2014.
- [11] Zhu, B.; Sastry, S. "SCADA-specific Intrusion Detection/Prevention Systems: a Survey and Taxonomy"; Proc. of the 1st Workshop on Secure Control Systems (SCS), 2010.
- [12] Carcano, A.; Fovino, I. "State-Based Network Intrusion Detection Systems for SCADA Protocols: A Proof of Concept"; Proc. of the 4th International Workshop on Critical Information Infrastructures Security (CRITIS'09), 2009, 138-150.
- [13] Fovino, I. N.; Carcano, A.; Murel, T. D. L.; Trombetta, A.; Masera, M. "Modbus/DNP3 State-Based Intrusion Detection System"; Proc. of 24th IEEE International Conference on Advanced Information Networking and Applications 2010, 729-736.
- [14] Carcano, A.; Coletta, A.; Guglielmi, M.; Masera, M.; Trombetta, A. "A Multidimensional Critical State Analysis for Detecting Intrusions in SCADA Systems"; *IEEE Trans. Industrial Informatics* 2011, 7, 179-186.
- [15] Balducelli, C.; Lavalle, L.; Vicoli, G. "Novelty Detection and Management to Safeguard Information-intensive Critical Infrastructures"; *International Journal of Emergency Management* 2007, 4, 88-103.
- [16] Hadžiosmanović, D.; Bolzoni, D.; Hartel, P. H. "A Log Mining Approach for Process Monitoring in SCADA"; *International Journal of Information Security* 2012, 11, 231-251.
- [17] Hadžiosmanović, D.; Sommer, R.; Zambon, E.; Hartel, P. H. "Through the Eye of the PLC: Semantic Security Monitoring for Industrial Processes"; Proc. of the 30th ACM Annual Computer Security Applications Conference 2014, 126-135.
- [18] Bishop, M.; Conboy, H. M.; Phan, H.; Simidchieva, B. I.; Avrunin, G. S.; Clarke, L. A.; Peisert, S. "Insider Threat Identification by Process Analysis"; Proc. of the Security and Privacy Workshops (SPW) 2014, 251-264.